

خنک کاری مجموعه باتری‌های لیتیوم-یون با استفاده از نانوسیال توسط چاه حرارتی*

مقاله پژوهشی

اکرم جهان‌بخشی^(۱) افشین احمدی ندوشن^(۲) مرتضی بیاره^(۳)

چکیده در پژوهش حاضر خنک کاری مجموعه‌ای از باتری‌های لیتیوم-یون (انباره)، توسط چاه حرارتی (*heat sink*) میکروکانالی دارای میکرولوله‌های موجی شکل به همراه نانوسیال نقره- (آب- اتیلن گلیکول ۵۰٪) بررسی شده است. برای حل معادلات و کوپل میدان سرعت و فشار، از نرم افزار آنسیس-فلوئنت و روش سیمپل (*Simple*) استفاده شده است. نتایج نشان می‌دهد، این سیستم می‌تواند دمای انباره لیتیوم-یون را بین ۲۹۵ تا ۳۰۵ درجه کلوین حفظ کند و در تمام غلظت‌های مطالعه شده، ماکزیمم اختلاف دمایی در سطح انباره، به ترتیب ۵ و ۷ درجه کلوین است. هم‌چنین مشخص شد که افزایش غلظت نانوسیال دمای یکنواخت‌تری را برای انباره فراهم می‌آورد و در رینولدزهای بالاتر، اگرچه توزیع دما یکنواخت‌تر است اما افزایش غلظت نانوسیال اثر محسوسی ندارد، مثلاً در $Re = 300$ با افزایش غلظت از صفر تا ۱٪، بهبود یکنواختی دمای سطح ۴/۵٪ است. از طرفی افزایش عدد رینولدز بر قدرت پمپاژ سیال خنک‌کننده تأثیر منفی دارد. هم‌چنین نرخ تولید آنتروپی حرارتی و اصطکاکی با افزایش کسر حجمی نانوذرات کاهش می‌یابد به طوری که در غلظت ۱٪ میزان کاهش آنتروپی اصطکاکی نسبت به سیال خالص برابر ۹٪ است.

واژه‌های کلیدی خنک کاری، باتری‌های لیتیوم-یون، چاه حرارتی، موجی شکل، میکروکانال، میکرولوله، نانوسیال.

مقدمه

باتری‌های لیتیوم-یون، به دلیل ظرفیت حرارتی مناسب، طول عمر نسبتاً بالا و نرخ تخلیه پایین خود به خود، در مقایسه با سایر انواع باتری‌ها در صنایع مختلفی از جمله در خودروهای الکتریکی به کار گرفته می‌وند؛ اما چالش‌های متعددی در استفاده از این باتری‌ها وجود دارد که می‌توان به پایداری حرارتی و یا انفجار آنها در اثر گرم شدن بیش از اندازه و یا توزیع حرارت غیر یکنواخت اشاره نمود؛ لذا طراحی و کاربرد یک سیستم خنک‌کننده باتری و مدیریت حرارتی که قادر به ایجاد شرایط کاری مناسب و ایمن باشد، مورد توجه است [1]. در سال‌های اخیر ایده ارائه خودروهای تمام الکتریکی، هیبرید الکتریکی و پیل سوختی بسیار مورد توجه فعالان

این عرصه صنعتی بوده است تا جایگزین خودروهای احتراق داخلی شوند. این نسل از خودروها دارای باتری به عنوان بخش ذخیره‌ساز انرژی در قوای محرکه خود هستند [2]. ماشین‌های الکتریکی در بسیاری از موارد شبیه ماشین بنزینی و گازویلی هستند و تنها تفاوت آنها جایگزینی موتور احتراق با یک باتری قابل شارژ است. این باتری، موتور الکتریکی را تأمین می‌کند و موتور الکتریکی، چرخ‌ها را به حرکت در می‌آورد. به‌طور کلی باتری‌ها پرکاربردترین نوع سامانه ذخیره انرژی هستند که دارای قیمت کم، قابلیت جابه‌جایی آسان و توانایی کار در شرایط مختلف هستند. باتری‌ها انرژی برق را به روش آزاد شدن انرژی نهفته در مواد شیمیایی موجود در خود، تولید می‌کنند. باتری‌های لیتیوم-یون، در بین

* تاریخ دریافت مقاله ۱۴۰۰/۹/۱۴ و تاریخ پذیرش آن ۱۴۰۰/۱۰/۲۵ می‌باشد.

(۱) دانشجوی دکتری، مهندسی مکانیک، دانشگاه شهرکرد

(۲) نویسنده مسئول: دانشیار، مهندسی مکانیک، دانشگاه شهرکرد

(۳) دانشیار، مهندسی مکانیک، دانشگاه شهرکرد

درجه سلسیوس بیشتر گردد. از این رو مطالعات پیرامون سیستم‌های مدیریت حرارتی این باتری‌ها امروزه مورد توجه بسیاری از پژوهشگران است و مطالعاتی پیرامون سامانه‌های خنک‌کننده مؤثر با کارایی بالا به منظور مدیریت گرمایی این تجهیزات انجام گرفته است. در تحقیقات انجام گرفته به منظور برآورده کردن شرایط مطلوب مدیریت حرارتی و حفظ دمای باتری‌ها در محدوده استاندارد و ایمن، به روش‌های متنوعی هم‌چون خنک‌کاری با هوا، خنک‌کاری با انواع مایع و نانوسیالات، لوله حرارتی و استفاده از مواد تغییر فاز دهنده اشاره شده است [8-5]. در پژوهش حاضر نیز به کاربرد میکروچاه حرارتی با هندسه‌ای جدید، برای خنک‌کاری این باتری‌ها پرداخته شده است. در ادامه باید اشاره کرد که در سال‌های اخیر ساخت ابزارها در ابعاد بسیار کوچک سبب انجام تحقیقات گسترده علمی در زمینه سیستم‌های میکروسیالی و میکروالکترو مکانیکی شده است. میکروکانال‌ها و میکروپمپ‌ها یکی از اجزای اساسی این گونه سیستم‌ها هستند. میکروکانال عبارت است از تعداد زیادی کانال با ابعاد میکرو و طول مشخص بین ۱ تا ۱۰۰ میکرومتر که در سطح غیرفعال الکتریکی تجهیز مورد نظر قرار می‌گیرد و برای دفع گرمای منتشر شده کاربرد دارد. میکروکانال‌ها به دلیل داشتن مزیت‌های بسیار از قبیل ابعاد هندسی کوچک، نسبت سطح به حجم بالا، رسانایی گرمایی بالا در بدنه جامد و همچنین نیاز به مقدار حجم کم از سیال خنک‌کننده، به عنوان یک راه حل عملی مفید برای دفع گرما از تجهیزات الکترونیکی می‌باشند [9]. در طراحی تمامی انواع سیستم‌های مدیریت حرارتی لازم است که در ابتدا رفتار حرارتی باتری به خوبی شناخته و تحلیل گردد [10].

از جمله این مطالعات می‌توان به پژوهش لیانگ و همکاران [11] اشاره داشت که اثر دما، دبی جریان سیال

انواع دیگر باتری‌ها، باتوجه به قیمت تمام‌شده پایین‌تر، طول عمر بالاتر و چگالی انرژی بالا، مورد توجه و کاربرد بیشتری در صنعت خودروهای الکتریکی هستند. پیشرفت چشم‌گیر در فناوری باتری‌های لیتیوم- یون سبب شده است تا صاحبان صنایع و پیشگامان عرصه فناوری بتوانند محصولات جدید مانند انواع ماهواره و فضاپیما، ایستگاه‌های فضایی، خودروهای برقی و هیبریدی و انواع وسایل ارتباطی پیشرفته را به بازار معرفی کنند. هم‌چنین نوع فناوری مورد استفاده در متالورژی این نوع باتری‌ها سبب شده است باتری‌های قابل انعطاف و انحناپذیر نیز به بازار معرفی شوند [4-3]؛ به‌عنوان مثال ساختار یک سلول باتری لیتیوم- یون مدل ۱۸۶۵ شامل یک جعبه استوانه‌ای به قطر ۱۸ میلی‌متر و طول ۶۵ میلی‌متر و یک سری است که درون آنها دورپیچی برگرفته از کاتد، جداکننده و آند به ترتیب در کنار یکدیگر و غوطه‌ور در محلول الکترولیت قرار دارند. جنس کاتد سلول باتری لیتیوم- یون عموماً از ۲٪ آلومینیوم، ۱۱٪ لیتیوم، ۱۴٪ کبالت و ۷۳٪ نیکل تشکیل شده است. هم‌چنین آند سلول مذکور از گرافیت (کربن) خالص تشکیل شده است. اشاره شد که مشکلات گرمایی موجود مربوط به این باتری‌ها استفاده از آنها را برای مصارف بالای انرژی، با محدودیت‌هایی روبه‌رو کرده است؛ زیرا بالا بودن دمای عملکردی در این باتری‌ها می‌تواند به‌طور مؤثری منجر به کاهش طول عمر آنها شود و حتی سبب ایجاد احتراق و آتش‌سوزی نیز گردد. به‌طور کلی عملکرد مطلوب باتری‌های لیتیوم- یون، تنها بستگی به شرایط دمایی باتری دارد، زیرا این باتری‌ها نسبت به دمای کاری به شدت حساس هستند و باید در یک بازه دمایی مشخص مورد استفاده قرار گیرند. از سوی تولیدکنندگان این باتری‌ها، بهترین دمای کارکرد، ماکزیمم تا ۴۵ درجه سلسیوس بیان شده است و تأکید شده است که نباید از محدوده ایمن آنها یعنی ۶۰

مورد بررسی قرار دادند. نتایج این مطالعه تجربی نشان داد که این سیستم مدیریت دمایی کارکرد باتری را در محدوده کمتر از ۶۰ درجه سلسیوس نگه می‌دارد. محمدیان و ژانگ [16] یک سیستم خنک‌کاری جدید با جریان هوا را برای باتری‌های لیتیوم-یون ارائه کردند. در این طرح، کانال‌های جریان هوا دارای پره بودند و بیان کردند که وجود پره‌ها منجر به کاهش دمایی بیشتر باتری و توزیع یکنواخت‌تر دما شده است.

در پژوهش انجام شده توسط پارک [17] خنک‌کاری مجموعه‌ای از باتری‌ها شامل ۳۶ باتری مستطیلی، به کمک یک سیستم شامل ۳۷ مسیر خنک‌کاری با جریان اجباری هوا به صورت عددی بررسی شده و نتیجه گرفته است که برای خنک‌کاری باتری به این روش، دبی جریان زیادی از هوا لازم است.

اشمالتزیگ و همکاران [18] یک مدل پیش‌بینی طول عمر باتری لیتیوم-یونی را براساس تست‌های تسریع شده بررسی کردند و توسعه دادند. ایشان به منظور بررسی اثر دماهای مختلف روی افت ظرفیت باتری، تست‌های عمر تقویمی انجام دادند و همچنین چند تست عمر سیکلی را نیز با استفاده از عمق دشارژهای مختلف بررسی کردند و در ادامه، داده‌های تست عمر سیکلی و عمر انبارداری را به منظور یافتن معادلات ریاضی استفاده کردند و نوع وابستگی زوال باتری به پارامترهای مختلف را مشخص نمودند.

در مطالعه تجربی وو و همکاران [19] استفاده از لوله‌های حرارتی برای خنک‌کاری باتری‌ها بررسی شد. آنها نشان دادند که توجه به سطح تماس موجب افزایش بازده در سیستم مورد نظر می‌شود. ایشان در ابتدا از دو لوله حرارتی برای سیستم مدیریت حرارتی باتری استفاده کردند که به دلیل نامناسب بودن سطح تماس، عملکرد مطلوبی در حفظ دمایی باتری در محدوده مجاز نداشت. از این رو آنها برای افزایش انتقال حرارت، پخش و

خنک‌کننده و دمای محیط را برای یک سیستم خنک‌کاری لوله گرمایی بررسی کردند. ایشان نتیجه گرفتند که خنک‌کاری متناوب با مصرف انرژی کمتری همراه است و جایگزین مناسبی برای سیستم‌های خنک‌کاری پیوسته است. هم‌چنین دریافتند که دبی سیال خنک‌کننده دارای حد بیشینه در خنک‌کاری باتری می‌باشد.

مشایخی و همکاران [12] یک سیستم مدیریت حرارتی ارائه دادند و در میکروکانال‌های تعبیه شده برای بخش فعال از نانوسیال و در بخش غیرفعال از پارافین و فوم مسی استفاده کردند. ایشان در نتایج کار خود به تأثیر مثبت این سیستم ترکیبی در مدیریت حرارتی باتری‌ها اشاره کردند و بیان کردند اگر چه بازده سیستم‌های خنک‌کاری با مایع از سیستم‌های شامل جریان هوا بیشتر است، اما اغلب سنگین‌تر و پرهزینه‌تر هستند و هزینه‌های نگهداری بیشتری نیاز دارند.

کووان و همکاران [13] به بررسی خنک‌کاری یک باتری با استفاده از مایع عبوری از درون مینی کانال‌های اطراف آن پرداختند و نتیجه گرفتند که استفاده از این روش می‌تواند دمای باتری‌ها را در محدوده ۳۰۰ تا ۳۱۲ کلوین نگه دارد.

ساتو [14] به شبیه‌سازی ترمودینامیکی مقدار گرمای تولید شده در یک انباره پرداخت و نتایج این کار را با مطالعات آزمایشگاهی مقایسه نمود. وی تأکید داشت گرمای ورودی و خروجی به ترتیب به عمل شارژ و دشارژ انباره بستگی دارد و فاکتورهای تولید حرارت را به سه دسته تقسیم نمود: (۱) مقدار حرارت واکنش (Qr)، (۲) مقدار حرارت قطبش (Qp) و (۳) مقدار حرارت ژول (QJ). علاوه بر این، میزان مشارکت هر یک از این عوامل را با تقسیم هر عامل تولید حرارت برای هر نرخ شارژ و تخلیه مشخص، به صورت کمی بیان کرد.

فنگ و همکاران [15] یک سیستم خنک‌کننده شامل جریان هوا و تبخیر آب را برای خنک‌کاری باتری‌ها

روش انجام می‌گیرد؛ به این صورت که اگر در فرآیند خنک‌کاری از انرژی خارجی برای به گردش درآوردن سیال استفاده شود این روش را روش فعال می‌نامند. در این روش معمولاً از هوا، آب یا جریان نانو سیال به عنوان سیال خنک‌کننده استفاده می‌شود و برای به حرکت در آوردن از تجهیزاتی هم چون پمپ یا فن استفاده می‌شود که انرژی مصرف می‌کنند. در روش دوم برای خنک- کاری نیازی به مصرف انرژی نیست؛ به طور مثال می‌توان از مواد تغییر فاز دهنده برای طراحی یک سیستم مدیریت حرارتی استفاده کرد. سومین حالت خنک کردن را می- توان کاربرد هم‌زمان دو روش قبلی دانست که به منظور بهره‌مندی از مزایای هر دو روش به کار می‌رود.

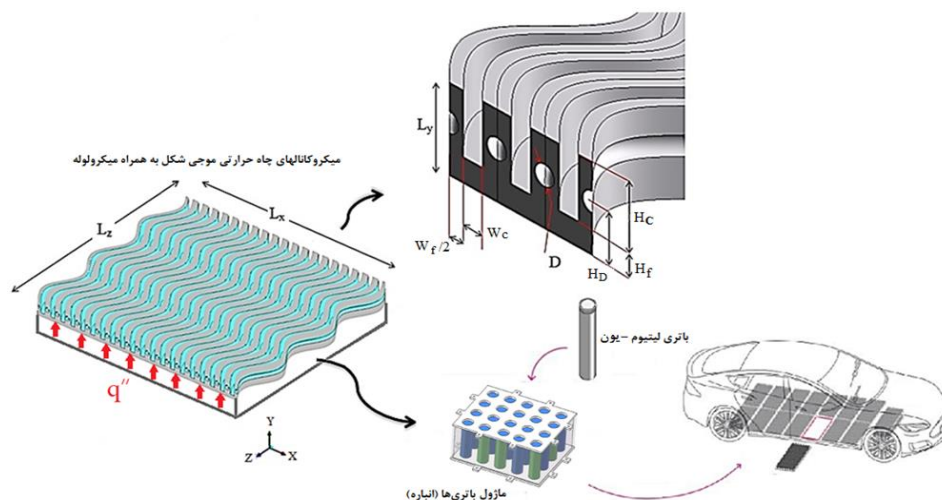
در این مقاله از چاه حرارتی میکروکانالی موج‌دار، دارای میکرولوله موجی شکل، به عنوان یک سیستم خنک‌کاری نوین برای خنک‌سازی انباره باتری لیتیوم- یون استفاده شده است و رفتار حرارتی و هیدرودینامیکی این چاه حرارتی، مورد بررسی قرار گرفته است تا عملکرد آن برای ارائه یک سیستم مدیریت حرارت بهینه برای باتری های لیتیوم- یون، بیان گردد. علاوه بر شکل هندسی، انتخاب نوع سیال عامل در چاه حرارتی نیز دارای اهمیت است؛ لذا در این پژوهش به منظور بهبود عملکرد چاه حرارتی، نانو سیال زیستی نقره- (آب- اتیلن گلیکول ۵۰٪) در نظر گرفته شده است. در واقع در این پژوهش با ترکیب دو هندسه میکروکانال و میکرولوله در یک چاه حرارتی موجی شکل، تلاش شده است تا طراحی جدید از ساختار میکروچاه های خنک‌کننده برای مجموعه باتری ها ارائه شود.

بهبود خواص سطح تماس، از آلومینیوم استفاده کردند و توانستند دمای کارکرد باتری را از ۴۵ درجه به حدود ۳۸ درجه کاهش دهند.

در مطالعات نلسون و همکارانش [20] مدلی از یک سیستم مدیریت گرمایی برای کنترل دما در مجموعه ای از باتری های لیتیوم- یون ارائه شد. آنها با در نظر گرفتن بدترین شرایط کاری از نظر نرخ دشارژ و توان مصرفی، نشان دادند که استفاده از یک سیال خنک‌کننده دی- الکتریک برای کنترل دمای باتری بسیار بهتر از هوا است. نتایج این مطالعه هم چنین نشان می‌دهد که عایق کاری محفظه باتری در تابستان، نرخ افزایش دمای باتری را به میزان چشم‌گیری کاهش می‌دهد.

کریمی و همکاران [21] با ارائه یک مدل ریاضی به بررسی عملکرد سیستم های متنوع در کنترل گرمای باتری ها پرداختند. ایشان گزارش دادند که استفاده از هوا به عنوان سیال خنک‌کننده و ایجاد جابه‌جایی اجباری در کنار چیدمان و هندسه مناسب کانال های خنک‌کننده، می‌تواند به عنوان سیستمی کارآمد و کم هزینه در کنترل دمای یک مجموعه باتری به کار رود.

ژائو و همکارانش [22] از روش خنک‌کاری توسط مایع برای باتری های استوانه ای استفاده کردند. هدف آنها نگهداری حداکثر دمای انباره باتری در محدوده ۲۵ درجه سانتی‌گراد و اطمینان از اختلاف دما در سلول ها بود. متغیرهایی که آنها در مطالعه خود بررسی کردند، نرخ جریان سیال، مسیر جریان سیال و اندازه ورودی سیستم خنک‌کننده بود. آنها توانستند توسط جریان سیال با سرعت برابر ۰/۰۰۱ کیلوگرم بر ثانیه، دمای باتری های استوانه ای را به کمتر از ۴۰ درجه سانتی‌گراد برسانند. براساس این نتایج مزایای سیستم خنک‌کاری مایع در مقایسه با سیستم جابه‌جایی طبیعی هوا بیان شده است. با مرور کلی تحقیقات انجام گرفته، این نتیجه حاصل می‌شود که به طور کلی خنک‌کاری باتری ها به سه



شکل ۱ هندسه مسئله و کاربرد آن در خنک‌کاری انبار لیتیوم-یون

تشریح مدل

شکل (۱) کلیت هندسی میکروچاه حرارتی را نشان می‌دهد که دارای ۵۰ کانال موجی شکل است و بین هر دو میکروکانال یک میکرولوله موجی شکل افزوده شده است که اقدامی در جهت ارتقای ساختار هندسی و عملکرد این سیستم خنک‌کننده است. فرم موجی شکل کانال و لوله در طول هیت سینک به صورت یک تابع سینوسی براساس معادله (۱) در نظر گرفته شده‌اند.

$$S(z) = a_w \sin \frac{2\pi z}{L_w} \quad (1)$$

مقدار پارامترهای a_w و L_w برابر $138 \mu\text{m}$ و $L_w = 5 \text{mm}$ انتخاب شده است. این مقادیر براساس هندسه بهینه معرفی شده در پژوهش الراشد و همکاران که به بررسی یک هیت سینک میکروکانالی موجی شکل پرداخته‌اند، در نظر گرفته شده است [23]. باتوجه به ساختار شیمیایی و مواد تشکیل دهنده، باتری‌های لیتیوم-یون در یک بازه دمایی بین ۲۵ تا ۴۵ درجه سانتی‌گراد بهترین کارایی را از خود نشان می‌دهند [24]. افزایش دمای باتری بیشتر از این مقدار علاوه بر ملاحظات ایمنی، طول عمر باتری را کاهش می‌دهد و در نتیجه هزینه استفاده از آن را به شدت بالا خواهد برد. از طرفی برای

تأمین مصارف بالای انرژی تعداد زیادی از این سلول‌ها باید به صورت سری یا موازی کنار هم و در یک مجموعه (انباره) قرار گیرند. در نتیجه توزیع دمای به وجود آمده در این مجموعه باعث می‌شود که سلول‌های مختلف داخل مجموعه، دماهای متفاوتی را تجربه کنند. این امر باعث افت ولتاژ خروجی کل مجموعه و کاهش طول عمر سلول‌ها خواهد شد. باتوجه به مشکلات ذکر شده، یک سامانه مدیریت حرارتی باید بتواند علاوه بر کاهش دمای کل مجموعه، توزیع دمایی یکنواخت و یکسانی را برای انباره ایجاد کند. جدول (۱) پارامترهای ابعادی هندسی چاه حرارتی را مبتنی بر شکل (۱) نشان می‌دهد. در این مطالعه، جریان در محدوده آرام قرار دارد و برای مدل‌سازی و تحلیل عددی عملکرد خنک‌کننده باتری باید معادلات حاکم بر انباره و معادلات نانوسیال خنک‌کننده حل شوند.

نانوسیال و معادلات حاکم. مفهوم نانوسیال به شکل جدیدی از محیط انتقال گرما اشاره دارد که از طریق معلق ساختن ذرات فلزی و غیرفلزی در مقیاس نانو در سیال پایه تولید می‌شوند و سیالات حاوی این ذرات دارای هدایت گرمایی بیشتری نسبت به سیالات خالص هستند. در یک بررسی آزمایشگاهی سرافراز و هرمزی

نیز نرخ گرمای تولیدشده توسط انباره است که از معادله (۷) محاسبه می‌شود.

$$q = \sigma_p |\nabla V_p|^2 + \sigma_n |\nabla V_n|^2 + q_{ech} + q_{short} \quad (۷)$$

σ_p و σ_n ($S.m^{-1}$) به ترتیب رسانندگی برق الکترودهای مثبت و منفی و V_p و V_n پتانسیل برقی الکترودهای مثبت و منفی انباره هستند. جمله‌های اول و دوم معادله (۷) بیانگر گرمای ایجادشده الکترودهای انباره و جمله‌های سوم و چهارم به ترتیب بیانگر گرمای ایجادشده در اثر واکنش شیمیایی و جریان اتصال کوتاه داخل انباره است. مقدار گرمای تولیدی با استفاده از معادله (۸) به دست می‌آید.

$$q_{short} = \frac{\alpha(V_p - V_n)^2}{r_c} \quad (۸)$$

که در آن α ($m^2.m^3$) مساحت ویژه ورقه الکتروود انباره و r_c ($\Omega.m^2$) مقاومت سطح تماس است. هم‌چنین برای گرمای تولیدشده در اثر واکنش شیمیایی معادلات (۹ و ۱۰) ارائه شده است.

$$q_{ech} = j_{ech} [U - (V_p - V_n) - T \frac{dU}{dt}] \quad (۱۰)$$

$$j_{ech} = \alpha Y (U - V_p - V_n) \quad (۱۱)$$

که U, Y از روابط (۱۱ و ۱۲) به دست می‌آیند:

$$Y = \left[\sum_{i=0}^n a_i DOD^i \right] \exp \left[-c_1 \left(\frac{1}{T} - \frac{1}{T_{ref}} \right) \right] \quad (۱۲)$$

$$U = \left[\sum_{i=0}^n b_i DOD^i \right] - \left[c_2 \left(\frac{1}{T} - \frac{1}{T_{ref}} \right) \right] \quad (۱۳)$$

DOD مقدار تخلیه شدن انباره است. در این مطالعه فرض شده است که انباره دارای ۷۰٪ شارژ باشد که

[25] توانسته‌اند نانوذرات نقره را از برگ سبز چایی سنتز نمایند. در کار حاضر بنا به اطلاعات این پژوهشگران از مخلوط آب-اتیلن گلیکول ۵۰٪ به عنوان سیال پایه و از نانوذرات نقره استفاده شده است و محاسبات خواص مخلوط نانوسیال براساس این پژوهش انجام گرفته است.

جدول ۱ پارامترهای ابعادی هندسه چاه حرارتی

پارامتر	مقدار
L_x	۱۰mm
L_y	۳۵۰ μ m
L_z	۱۵mm
W_f	۱۲۰ μ m
W_c	۸۰ μ m
D	۷۰ μ m
H_f	۱۰۰ μ m
H_c	۲۵۰ μ m
H_D	۱۷۵ μ m

چگالی، ظرفیت گرمایی ویژه، لزجت و رسانش حرارت نانوسیال براساس درصد حجمی نانوذرات موجود در نانوسیال توسط معادلات زیر محاسبه شده است [25]. در این معادلات ρ چگالی، C_p ظرفیت گرمایی ویژه، μ لزجت، k رسانش حرارتی، T دما و ϕ کسر حجمی نانوذره هستند و زیرنویس bf به سیال پایه، p به نانوذرات و nf به نانوسیال اشاره دارند.

$$\rho_{nf} = (1 - \phi)\rho_{bf} + \phi\rho_p \quad (۲)$$

$$\rho_{nf}C_{p,nf} = (1 - \phi)\rho_{bf}C_{p,bf} + \phi\rho_pC_{p,p} \quad (۳)$$

$$\mu_{nf} = \mu_{bf}(1 + 2.5\phi) \quad (۴)$$

$$k_{nf} = k_{bf}[0.981 + 0.00114T(^{\circ}C) + 30.661\phi] \quad (۵)$$

معادلات حاکم بر مجموعه باتری‌ها (انباره). معادله

(۶) معادله دیفرانسیلی انتقال گرمای هدایت سه بعدی است [24]:

$$\frac{\partial \rho c_p T}{\partial t} = \nabla \cdot (\lambda \nabla T) + q \quad (۶)$$

در این معادله λ ضریب انتقال گرمای هدایتی در انباره، C_p گرمای ویژه در فشار ثابت و ρ چگالی است q

مقدار تخلی G آن برابر ۳۰٪ است

معادله انرژی برای بدنه صلب سیستم خنک کننده:

$$\nabla \cdot (k_s \nabla T) = 0 \quad (18)$$

در معادلات بالا \vec{u} ، بردار سرعت و p فشار هستند. زیر نویس S نیز به خواص ناحیه جامد اشاره می کند که از جنس مس در نظر گرفته شده است.

تعریف پارامترهای مورد نیاز برای تحلیل عملکرد سیستم خنک کننده انباره. پارامتر θ با تعریف ارائه شده در معادله (۱۸) یکنواختی دمای سطح انباره را که توسط میکرو هیت سینک در حال خنک شدن است، توصیف می کند.

$$\theta = \frac{T_{batteries,Max} - T_{batteries,min}}{T_{batterise,Meam}} \quad (19)$$

در این معادله بیشینه دمای سطح انباره با $T_{CPU,Max}$ ، کمینه آن با $T_{CPU,min}$ و متوسط دمای سطح انباره با $T_{CPU,Meam}$ بیان شده است. ضریب انتقال حرارت کلی میکروچاه حرارتی نیز باتوجه به عملکرد خنک کاری آن به صورت زیر تعریف می شود:

$$h = \frac{q''}{T_{batteries,Meam} - T_{in}} \quad (20)$$

در مطالعه حاضر روش خنک کاری فعال مد نظر است؛ از این رو برای به حرکت در آوردن جریان سیال از پمپ استفاده می شود. میزان توان پمپاژی لازم برای هیت سینک نیز از معادله (۲۰) براساس دبی حجمی و افت فشار داخلی هیت سینک محاسبه می گردد.

$$DOD = \frac{VOL}{3600Q_{Ah}} \left(\int_0^t j dt \right) \quad (14)$$

$$DOD = 1 - SOC$$

مقدار شارژ انباره SOC (State of charge)

مقدار تخلیه انباره DOD (Depth of Discharge)

ضرایب معادلات Y, U در جدول (۲) آمده اند.

در این مطالعه دمای نزدیک به ۳۱۸ درجه کلونین (معادل ۴۵ درجه سانتی گراد) برای باتری های لیتیوم-یونی، دمای کاری مجاز در نظر گرفته شده است [24] و فرض شده است که چاه حرارتی بر روی یک مجموعه از باتری های لیتیوم-یون قرار دارد و شار حرارتی $50q = (W/cm^2)$ (طبق معادله ۷) از طرف کل انباره به مجموعه وارد می شود. این میزان شار حرارتی می تواند شرایط بحرانی دمایی برای مجموعه انباره مورد نظر باشد که در زمان تخلیه جریان باتری ها ایجاد می شود؛ از این رو عملکرد هیت سینک در این شرایط و قدرت خنک-کنندگی آن در حضور نانوسیال در حالت دمای بحرانی عملیاتی بررسی می شود.

معادلات پیوستگی، تکانه و انرژی. در ادامه معادلات

پیوستگی، تکانه و معادله انرژی ارائه شده اند [23].

معادله پیوستگی:

$$\nabla \cdot (\rho_{nf} \vec{u}) = 0 \quad (15)$$

معادله مومنتوم:

$$\nabla \cdot (\rho_{nf} \vec{u} \vec{u}) = -\nabla p + \nabla \cdot (\mu_{nf} \nabla \vec{u}) \quad (16)$$

معادله انرژی برای ناحیه سیال:

$$\nabla \cdot (\rho_{nf} \vec{u} C_{p,nf} T) = \nabla \cdot (k_{nf} \nabla T) \quad (17)$$

جدول ۲ ضرایب مورد نیاز معادلات Y, U

۵	۴	۳	۲	۱	۰	i
۰	۰	-۱/۱۷۷	۱/۰۷۵	-۰/۸۰۴	۴/۱۲	a_i
-۶۷۵۷۸/۵	۱۵۸۵۳۱/۷	-۱۳۶۲۳۱	۵۲۵۰۴/۶	-۸۹۲۸	۱۱۶۸/۵۹	b_i
-	-	-	-۰/۰۰۰۹۵	۱۸۰۰	-	c_i

سرعت و فشار استفاده شده است. قید هم‌گرایی نیز مقدار 10^{-6} برای معادله انرژی و 10^{-6} برای دیگر معادلات انتخاب شده است. در مطالعه حاضر با استفاده از شرط مرزی تقارن، تنها یک کانال مدل‌سازی شده است و حجم کنترل مشخص شده در واقع قسمتی از یک میدان جریان تکرارشونده است. در ابتدای شبیه‌سازی باید مبحث استقلال از شبکه برای دقیق بودن نتایج خروجی بررسی گردد؛ از این رو در جدول (۳) توان مصرفی پمپ و حداکثر اختلاف دما در ورودی و خروجی چاه حرارتی نشان داده شده است. برای این منظور و با در نظر گرفتن میزان دبی جرمی یکسان برای جریان عبوری از میکروکانال و میکرولوله، عدد رینولدز برای کانال و لوله به ترتیب ۷۰۰ و ۷۰ و نانوسیال ۱٪ که بیشترین غلظت مطالعه شده در پژوهش حاضر می‌باشد، انتخاب شده است.

جدول ۳ نتایج تحلیل استقلال شبکه

تعداد شبکه (هزار المان)	$\Delta T [K]$	$W_{pump} [W]$
۲۴	۳/۳۸۶	۰/۰۱۸۶
۲۷	۳/۳۸۷	۰/۰۴۷۵
۷۴	۳/۳۸۸	۰/۰۵۶۸
۱۲۸	۳/۳۸۸	۰/۰۵۸۷
۱۹۵	۳/۳۸۸	۰/۰۵۹۱
۳۳۰	۳/۳۸۸	۰/۰۵۹۱

بر اساس جدول (۳) شبکه دارای ۱۹۵ هزار المان به عنوان شبکه حل انتخاب گردیده و تمامی حالات در این شبکه محاسبه شده است. شکل (۲) نمایی از شبکه محاسباتی این پژوهش است.

$$W_{pump} = \dot{V}\Delta p \quad (21)$$

به منظور تحلیل عملکرد کلی نانوسیال در هیت سینک نیز عبارت PEC به فرم ارائه شده در رابطه (۲۱) تعریف شده است.

$$PEC = \frac{h_{nf}/h_{bf}}{\Delta p_{nf}/\Delta p_{bf}} \quad (22)$$

قوانین ترمودینامیک نشان می‌دهند که انتقال گرما و جریان سیال در یک سیستم خنک‌کننده باعث بازگشت ناپذیری ترمودینامیکی و تولید آنتروپی می‌شود. تولید آنتروپی معیاری برای سنجش میزان بازگشت ناپذیری است و می‌تواند برای ارزیابی عملکرد فرایندهای ترمودینامیکی و سیستم‌های حرارتی استفاده شود. در مطالعه حاضر آنتروپی تولیدی کل، شامل آنتروپی تولیدی حرارتی سیال در کل ناحیه محاسباتی (سیال و جامد)، آنتروپی ناشی از شار حرارتی و آنتروپی تولیدی اصطکاکی است که به ترتیب عبارتند از [26]:

$$\dot{S}_{gen} = \dot{S}_h + \dot{S}_\mu - \dot{S}_q \quad (23)$$

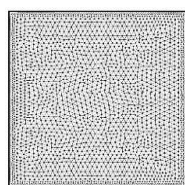
$$\dot{S}_h = \dot{m} \int_{in}^{out} c_p \frac{dT}{T}$$

$$\dot{S}_q = \oint_A \frac{dq}{T} \dot{S}_\mu = \dot{m} \int_{out}^{in} \frac{v}{T} dP ,$$

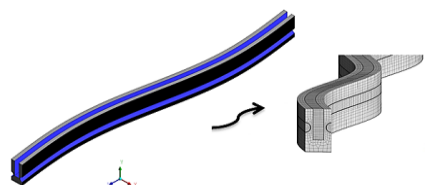
فرایند حل عددی و بررسی استقلال

حل از شبکه

به منظور حل معادلات بیان شده در هندسه مسئله از نرم‌افزار انسیس-فلوئنت استفاده شده است. از متد Upwind مرتبه دوم برای حل معادله مومنتوم و هم‌چنین روش سیمپل با شبکه فشار جابه‌جا شده برای کوپل میدان

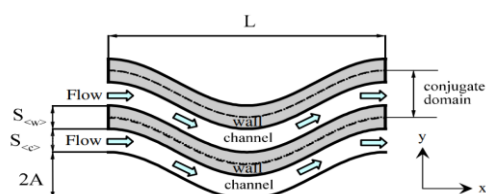


(ب) سطح تماس انباره لیتیوم-یونی با هیت سینک



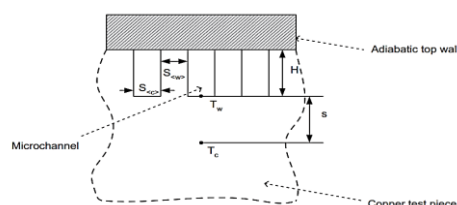
(الف) چاه حرارتی

شکل ۲ نمایی از شبکه محاسباتی مسئله



(ب) پارامترهای ابعادی بین میکروکانال‌های موازی در هندسه

مرجع [27]



(الف) برشی از مقطع عرضی میکروکانال در هندسه مرجع [27]

شکل ۳ هندسه مسأله اعتبارسنجی

صحت سنجی مدل‌سازی

در ادامه به منظور صحت‌سنجی مدل‌سازی صورت گرفته، کار حاضر با نتایج آزمایشگاهی سو و همکارانش [27] مقایسه گردید. براساس این مقاله یک میکروکانال موجی شکل مدل‌سازی شده است و انتقال حرارت جابه‌جایی در میکروکانال موج‌دار و نیز رسانایی در بستر مسی به صورت سه‌بعدی در نظر گرفته شده است. شکل (۳) هندسه مسئله اعتبارسنجی و جدول (۴) پارامترهای ابعادی آن را نشان می‌دهد. در جدول (۵) نیز مقادیر $(T_{Max} - T_{min})$ به دست آمده در کار حاضر با نتایج تجربی مرجع [27] مقایسه شده است. می‌توان مشاهده کرد که بین نتایج کار عددی حاضر و نتایج تجربی موجود سازگاری مناسبی وجود دارد.

نتایج

بیشینه دمای انباره لیتیوم-یون حین تخلیه جریان نباید از محدوده مجاز تجاوز نماید، در غیر این صورت طول عمر باتری کاهش می‌یابد و باعث آسیب دائمی باتری می‌شود. در ادامه به بررسی عملکرد خنک‌کاری و پارامترهای هیدرولیکی و حرارتی هیت سینک

جدول ۴ پارامترهای ابعادی هندسه مسئله اعتبارسنجی

پارامتر	مقدار
S_w	$193 \mu\text{m}$
S_c	$207 \mu\text{m}$
S	$100 \mu\text{m}$
H	$406 \mu\text{m}$
A	$138 \mu\text{m}$
L	25 mm

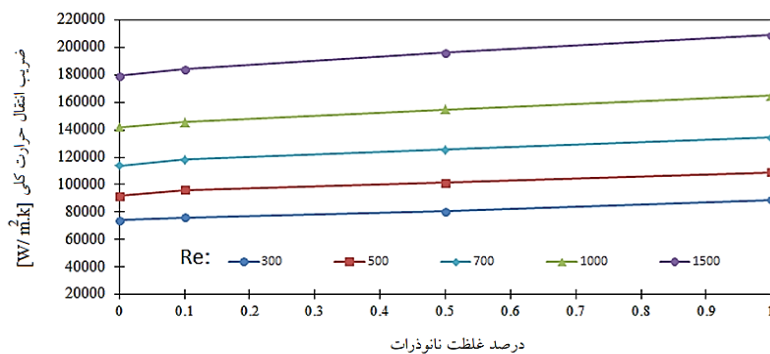
جدول ۵ مقایسه مقادیر $(T_{Max} - T_{min})$ در پژوهش حاضر با

نتایج تجربی مرجع [27]

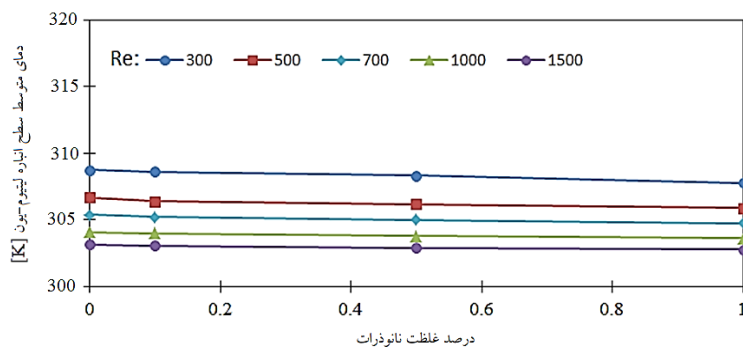
رینولدز	نتایج مرجع [27]	نتایج مطالعه حاضر	درصد خطا
۳۰۰	۹/۴۲	۹/۱۲	۳/۱۸
۴۰۰	۱۱/۴	۱۰/۹۸	۳/۶۸
۵۰۰	۱۳/۱	۱۲/۵۷	۴/۰۴
۶۰۰	۱۴/۷	۱۴/۱۱	۴/۰۱
۷۰۰	۱۶/۴	۱۵/۸۵	۳/۳۵
۸۰۰	۱۸/۲	۱۷/۶۴	۳/۰۷

تقریباً برابر ۷٪ است. اثر افزایش نانوذرات را می‌توان براساس دمای متوسط و بیشینه دمایی سطح در تماس انباره با چاه حرارتی نیز بررسی کرد. با افزایش غلظت نانوذرات و بهبود عملکرد انتقال حرارت در سیستم، دمای سطح انباره نیز کاهش می‌یابد، زیرا نیاز به گرادیان دمایی کمتری برای انتقال حرارت تولید شده است. این نکته در نمودار شکل (۵) ارائه شده است. این شکل روند کاهش دمای متوسط سطح انباره لیتیوم- یون را در اثر افزایش غلظت نانوذرات نشان می‌دهد. مشاهده می‌شود که عملکرد نانوذرات در رینولدزهای پایین بهتر است و افزودن غلظت نانوذرات در رینولدزهای پایین‌تر موجب شده است که دمای سطح انباره تغییر بیشتری داشته باشد؛ به‌عنوان مثال در $Re=1500$ افزایش کسر حجمی نانوذرات از صفر به ۱٪ دمای متوسط در تماس انباره را ۲۶٪ کاهش می‌دهد. هم‌چنین برای $Re=500$ این کاهش حدوداً برابر ۷٪ است و در $Re=300$ تقریباً برابر با ۱٪ می‌باشد.

موجی شکل پرداخته می‌شود. هم‌چنین دمای سطح تماس انباره با چاه حرارتی در شرایط مختلف به‌صورت عددی بررسی می‌شود. در این پژوهش مدل‌سازی‌ها برای جریان نانوسیال نقره/ (آب- اتیلن گلیکول ۵۰٪) در کسرهای حجمی مختلف نانوذرات شامل (صفر، ۰/۱٪، ۰/۵٪ و ۱٪)، و اعداد رینولدز (۳۰۰، ۵۰۰، ۷۰۰، ۱۰۰۰ و ۱۵۰۰) است. از شکل (۴) نتیجه می‌شود که افزایش نانوذرات و بالابردن غلظت نانوسیال موجب افزایش ضریب انتقال حرارت می‌گردد. هم‌چنین اثر افزایش غلظت نانوذرات، در جریان با رینولدزهای بالاتر، بیشتر است. زیرا افزایش کسر حجمی نانوذره، در عدد رینولدز ثابت، منجر به افزایش رسانایی گرمایی و در نتیجه افزایش ضریب انتقال حرارت هم‌رفتی می‌شود؛ به‌عنوان مثال در $Re=1000$ افزایش کسر حجمی نانوذرات از ۰ به ۱٪ ضریب انتقال حرارت جابه‌جایی را برای حدود ۱۶،۴٪ افزایش می‌دهد و برای عدد $Re=1500$ این افزایش برابر ۱۸٪ است و در کوچک‌ترین عدد رینولدز مطالعه شده یعنی $Re=300$



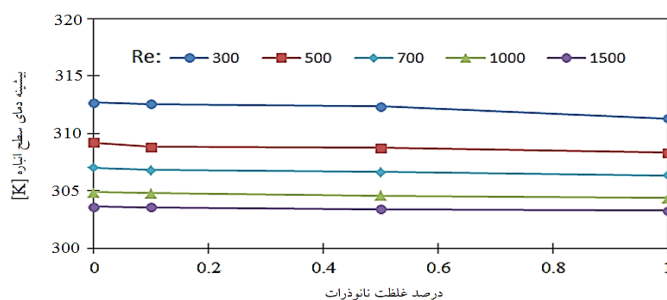
شکل ۴ ضریب انتقال حرارت کلی میکروکانال و میکرولوله چاه حرارتی خنک‌کننده



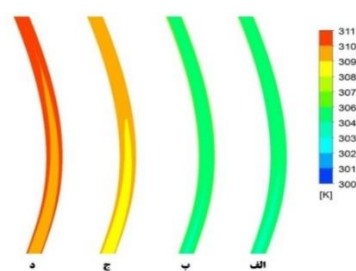
شکل ۵ تغییرات دمای متوسط سطح انباره لیتیوم- یون

بودن سرعت جریان و قوی تر بودن قدرت جابه‌جایی جریان در راستای خود نسبت به قدرت پخش رسانی حرارت در مسیر عمود بر جریان است. در شکل‌های (ج)، (د) و (ه) که مربوط به رینولدز ۳۰۰ است، به دلیل پایین تر بودن قدرت جابه‌جایی جریان، پخش حرارتی در مسیر عمود بر جریان بهتر رخ داده است و افزایش نانوذرات این پدیده را سرعت بخشیده است به طوری که تغییرات دما به مرکز جریان نیز رسیده است. برای رسیدن دما به هسته مرکزی جریان نیاز به گرادیان دمایی در راستای عمود بر مسیر جریان می‌باشد و این به معنای افزایش دمای سیال در دیواره است که این امر موجب کاهش ضریب انتقال حرارت بین سیال و بدنه جامد می‌شود و از سوی دیگر موجب افزایش دمای سطح در تماس با انباره در جهت انتقال شار حرارتی تولید شده می‌گردد. در شکل (۸) نیز مشخص است که به دلیل کوچک تر بودن سطح مقطع جریان انتقال حرارت در راستای عمودی بسیار قوی تر عمل کرده است و در نتیجه تغییرات دمایی بسیار بیشتری مشاهده می‌شود. از بررسی تغییرات دمایی سیال خنک‌کننده در چاه گرمایی این نتیجه حاصل می‌شود که نانوسیال به علت داشتن ضریب انتقال حرارتی بالا گزینه بسیار مناسبی برای خنک‌کاری باتری‌های لیتیوم- یون است. نتایج این بررسی نشان می‌دهد که نانو سیال آب/اتیلن گلیکول ۵٪- نقره، علاوه بر این که دمای مجموعه را تا حد زیادی پایین نگه می‌دارد، دمای خودش نیز نسبت به سیال خالص، افزایش کمتری دارد؛ لذا از نظر میزان انتقال گرما، برتری نانوسیال بر سیالات خالص خنک‌کننده قابل توجه است.

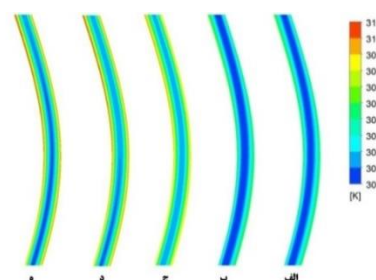
در کنار متوسط دمای سطح انباره نکته مهم دیگر بیشینه دمای آن و میزان یکنواختی دمای انباره است؛ زیرا افزایش بیش از حد دما و وجود اختلاف دمای بالا موجب تأثیر منفی در عملکرد انباره لیتیوم- یون می‌شود. به منظور بررسی این نکته نمودار دمای بیشینه سطح تماس انباره و چاه حرارتی در شکل (۶) ارائه شده است. باتوجه به شکل‌های (۵ و ۶) مشاهده می‌شود که دمای متوسط سطح انباره ۳۰۲ درجه کلوین و رینولدز جریان ۱۰۰۰ است در حالی که بیشینه دمای سطح ۳۰۴ کلوین محاسبه شده است. این تفاوت به دلیل غیریکنواخت بودن انتقال حرارت در سطح تماس است زیرا که شرایط انتقال حرارتی و مقاومت حرارتی تمامی نقاط روی سطح تماس به یک میزان نیست و این امر موجب اختلاف دما روی سطح انباره می‌شود. در این جا نیز حضور نانوسیال موجب بهبود عملکرد خنک‌کاری شده و دمای بیشینه را کاهش داده است. مشخص است که وجود هم‌زمان میکرولوله در کنار میکروکانال در سیستم خنک‌کننده موجب بهبود دسترسی انتقال حرارت در قسمت‌های مختلف چاه حرارتی و کاهش مقاومت حرارتی انباره شده است. هرچه دمای داخل مجاری یکنواخت تر باشند به معنی اختلاط بهتر جریان سیال خنک‌کننده و عملکرد مناسب تر آن مجرای خنک‌کاری است. در شکل (۷) کانتور دمای نانوسیال در ناحیه موج خروجی مشاهده می‌شود. در تمامی حالت‌ها دیواره‌ها داغ تر از قسمت مرکزی آن است اما در دو شکل (الف) و (ب) دمای قسمت مرکزی بدون تغییر باقی مانده است و اثر افزایش نانوذرات در پخش حرارت از دیواره‌ها به مرکز جریان قابل تشخیص نیست. این نتیجه به دلیل بالا



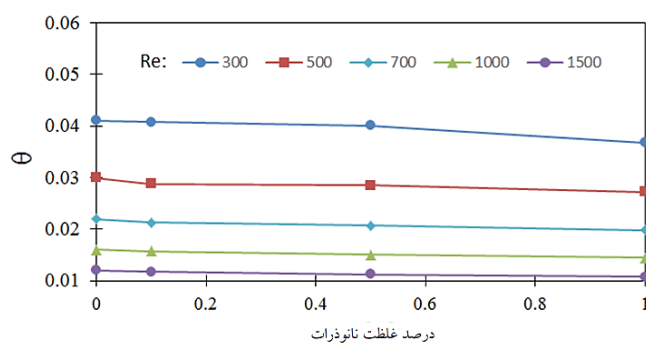
شکل ۶ تغییرات بیشینه دمای سطح انباره برای غلظت و رینولدزهای مختلف



شکل ۸ توزیع دمای سیال خنک‌کننده در میکرولوله
 الف) $Re = 700$, $\phi = 1\%$ ب) $Re = 700$, $\phi = 0.1\%$
 ج) $Re = 300$, $\phi = 1\%$ د) $Re = 300$, $\phi = 0.1\%$
 ه) $Re = 300$, $\phi = 0.1\%$



شکل ۷ توزیع دمای سیال خنک‌کننده در میکروکانال مستطیلی
 الف) $Re = 700$, $\phi = 1\%$ ب) $Re = 700$, $\phi = 0.1\%$
 ج) $Re = 300$, $\phi = 1\%$ د) $Re = 300$, $\phi = 0.1\%$
 ه) $Re = 300$, $\phi = 0.1\%$

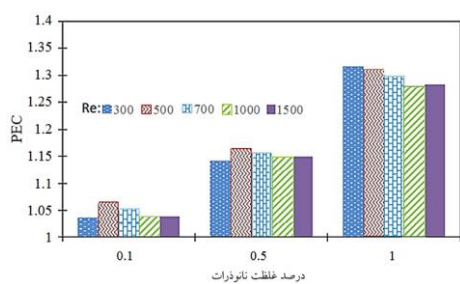


شکل ۹ بررسی یکنواختی دمای سطح تماس چاه حرارتی و انبارة لیتیوم- یون با پارمتر θ

برای $Re = 1500$ برابر 3% است و یا در غلظت ثابت برابر 0.5% با افزایش رینولدز از 500 به 1000 مقدار θ به میزان 50% بهبود یافته است و این میزان بهبود برای رینولدز 700 و 1500 به ترتیب برابر 30% و تقریباً 61% است. در مطالعه حاضر روش خنک‌کاری فعال مورد نظر است و از انرژی خارجی جهت به گردش درآوردن سیال در میکروکانال و میکرولوله‌ها استفاده می‌شود؛ از این رو برای به حرکت درآوردن جریان سیال از پمپ استفاده می‌شود. در شکل (۱۰) میزان توان لازم پمپاژ جریان سیال خنک‌کننده در شرایط مختلف مورد بررسی قرار گرفته است. مشخص است که افزوده شدن نانوسیال به سیستم توان مورد نیاز پمپاژ را کاهش می‌دهد. این پدیده به دلیل کاهش سرعت جریان در اثر افزایش چگالی سیال و حفظ عدد رینولدز جریان رخ می‌دهد علاوه بر این، شکل (۱۰) نشان می‌دهد که افزایش عدد رینولدز منجر

شکل (۹) نسبت گستردگی دما به متوسط دمای سطح تماس انبارة لیتیوم- یون و چاه حرارتی خنک‌کننده را نشان می‌دهد. هر چه این عدد کوچک‌تر باشد به معنای توزیع یکنواخت‌تر دما روی سطح انبارة است. باتوجه به افزایش ضریب انتقال حرارت در اثر افزوده شدن نانوسیال، بهبود عملکرد حرارتی سیستم خنک‌کننده مشخص است و هم‌چنین مشاهده می‌شود که دما نیز روی سطح انبارة لیتیوم- یون یکنواخت‌تر است اما رابطه معکوسی بین اثر غلظت نانوسیال با رینولدز جریان سیال خنک‌کننده وجود دارد و هر چه رینولدز جریان بالاتر باشد، به علت قوی‌تر بودن ترم جابه‌جایی درون جریان، توزیع دما یکنواخت‌تر می‌شود و در نتیجه اثر افزوده شدن نانوسیال چشم‌گیر نخواهد بود؛ به‌طور مثال در $Re = 300$ با افزایش غلظت از صفر تا 1% میزان تغییر θ تقریباً برابر $4/5\%$ است که در همین شرایط

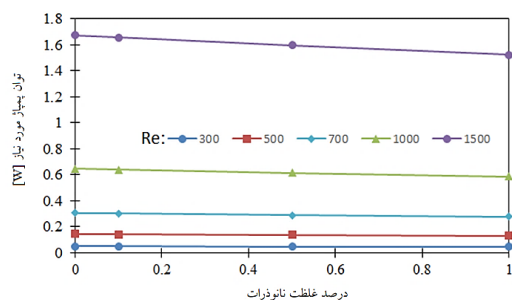
نانوذرات به بهبود خواص پخش حرارتی سیال کمک می‌کند. در ادامه نتایج میزان آنتروپی تولیدی در چاه خنک‌کننده ارائه شده است. در شکل (۱۲) مشاهده می‌شود که افزایش عدد رینولدز جریان نانو سیال خنک‌کننده موجب افزایش تولید آنتروپی می‌شود که عامل اصلی این افزایش ناشی از تولید آنتروپی اصطکاکی است زیرا افزایش عدد رینولدز منجر به نازک شدن لایه مرزی هیدروپنایمیکی و افزایش گرادیان سرعت می‌شود که نرخ تولید آنتروپی اصطکاکی را نیز افزایش می‌دهد. همچنین افزایش غلظت ذرات نانو موجب کاهش آنتروپی شده است زیرا هر دو نرخ تولید آنتروپی حرارتی و اصطکاکی کاهش می‌یابند و در نتیجه کاهش نرخ تولید آنتروپی کل اجتناب‌ناپذیر است.



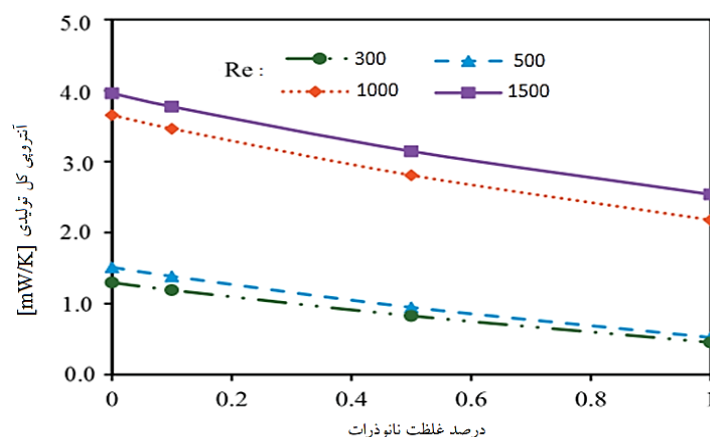
شکل ۱۱ نمودار PEC و مقایسه کلی بین بهبود عملکرد حرارتی و هزینه پمپاژ

به افزایش قابل توجه قدرت پمپاژ سیستم می‌شود که به دلیل افزایش سرعت نانو سیال و در نتیجه افزایش فشار است. برای مقایسه کلی بین بهبود عملکرد حرارتی و هزینه پمپاژ افزوده شده به سیستم پارامتر PEC تعریف شده است که با مبنا قرار دادن حالت سیال پایه به عنوان حالت مبنا، اثر عملکرد حرارتی و هیدرولیکی را هم‌زمان در نظر می‌گیرد.

در شکل (۱۱) مشخص است که افزوده شدن نانو سیال به سیستم در حالت‌های مختلف اثر یکسانی ندارد؛ به طوری که در غلظت ۰/۱٪ بهبود عملکرد حداکثری ۵٪ را دارد اما در غلظت ۰/۵٪ بهبود عملکرد حداکثر ۱۵٪ را از خود نشان داده است و در نهایت غلظت ۱٪ بهبود ۳۵٪ را دارد، و به طور کلی افزوده شدن



شکل ۱۰ توان پمپاژ مورد نیاز سیستم خنک‌کننده انباره لیتیوم-یون



شکل ۱۲ مقایسه میزان تولید آنتروپی در مجموعه چاه حرارتی خنک‌کننده و انباره لیتیوم-یون

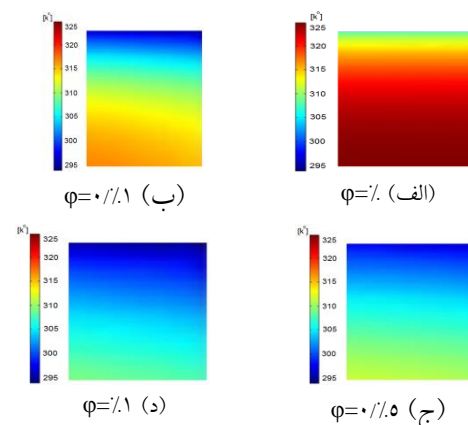
دمای باتری‌ها را در بهترین حالت محدوده ۲۹۵ تا ۳۰۵ درجه کلوین نگه داشت. نتایج نشان می‌دهند که با افزایش غلظت نانوذرات، اختلاف دمای بین سلول‌ها در طول سطح تماس انباره با چاه حرارتی، کاهش می‌یابد و در بیشترین غلظت نانوذرات در سیستم خنک‌کننده این اختلاف دما به حداقل می‌رسد و تقریباً برابر ۵ درجه است. وجود میکرولوله، به دلیل افزایش سطح انتقال حرارت و کاهش مقاومت حرارتی نواحی مختلف سطح انباره نیز عامل مهمی است که باعث توزیع یکنواخت‌تر دمای سطح انباره شده است.

نتیجه‌گیری

در پژوهش حاضر یک طرح جدید از میکروچاه حرارتی برای خنک‌کاری باتری لیتیوم- یون ارائه شد. از جمله نتایج به دست آمده این است که ضریب انتقال حرارت جابه‌جایی نانوسیال با افزایش کسر حجمی نانوسیال و عدد رینولدز افزایش می‌یابد. اثر افزایش غلظت نانوذرات، در جریان با رینولدزهای بالاتر، چشم‌گیرتر است؛ به طوری که در بیشترین رینولدز مطالعه شده یعنی $Re=1500$ این افزایش برابر ۱۸٪ است. هم‌چنین افزایش این دو پارامتر منجر به بهبود یکنواختی دمای سطح تماس انباره می‌شود. با استفاده از این سیستم خنک‌کننده می‌توان دمای باتری‌ها را در بهترین حالت در محدوده ۲۹۵ تا ۳۰۵ درجه کلوین نگه داشت. در مطالعه حاضر برای به حرکت در آوردن جریان سیال از پمپ استفاده می‌شود. در ادامه مشخص شد که قدرت پمپاژ سیستم خنک‌کننده انباره، با افزایش کسر حجمی نانوذرات و عدد رینولدز به ترتیب کاهش و افزایش می‌یابد. از سوی دیگر با افزایش رینولدز جریان به علت قوی‌تر شدن ترم جابه‌جایی درون جریان، توزیع دما یکنواخت‌تر می‌شود، به طوری که در غلظت ثابت برابر ۰/۵ با افزایش رینولدز از ۵۰۰ به ۱۰۰۰ بهبود پارامتر یکنواختی دما به میزان ۵۰٪ است. این نتیجه نیز به دست آمد که افزایش عدد رینولدز جریان موجب افزایش تولید آنتروپی می‌شود.

جدول ۶ درصد کاهش آنتروپی اصطکاکی با افزایش غلظت نانوذرات نسبت به سیال خالص

درصد غلظت	۰/۱٪	۰/۵٪	۱٪
درصد کاهش آنتروپی	۱٪	۴/۷٪	۹٪



شکل ۱۳ کانتورهای دمایی سطح انباره

در جدول (۶) به درصد کاهش آنتروپی اصطکاکی ناشی از افزایش غلظت نانوذرات اشاره شده است. در کانتورهای شکل (۱۳) تغییرات دمایی سطح تماس مجموعه سلول‌های باتری با چاه حرارتی خنک‌کننده در رینولدز ثابت برابر ۷۰۰ برای غلظت‌های مختلف نانوسیال نشان داده شده است. از مقایسه کلی کانتورهای دمایی مشخص است که این شرایط خنک‌کاری باعث کاهش دمای بیشینه در مجموعه باتری‌ها می‌شود؛ زیرا عبور نانوسیال خنک‌کننده از طریق انتقال گرمای رسانشی و انتقال گرمای جابه‌جایی در چاه حرارتی خنک‌کننده باعث کاهش دمای مجموعه می‌شود. دمای سیال خنک‌کننده در ابتدای ورود با دمای محیط برابر است و هر چه درون میکروکانال و میکرولوله‌های چاه حرارتی و در امتداد سطح انباره جریان می‌یابد گرمای بیشتری جذب خود می‌کند و هنگام خروج بیشترین دما را دارد که در شرایط دمایی عملیاتی بحرانی باتری‌ها، یعنی نرخ‌های شارژ و دشارژ بالا، برای سیال خالص تنها ۹ درجه از ماکزیمم دمای سطح انباره کمتر است. و در غلظت ۱٪ که بیشترین غلظت نانوسیال بررسی شده در این تحقیق است تقریباً با دمای سطح انباره برابر است. هم‌چنین با استفاده از این سیستم خنک‌کننده می‌توان

	حل عددی	واژه نامه	
Numerical solution	معادلات حاکم	Microchannel	میکروکانال
Governing Equation	نانوسیال	Microtube	میکرولوله
Nanofluid	سیستم خنک کاری	Wave-shaped heatsink	چاه حرارتی موجی شکل
Cooling system	مدیریت حرارتی	Convection heat transfer	انتقال حرارت جابجایی
Thermal management	باتری‌های لیتیوم-یون	Finite volume method	روش حجم محدود
Lithium-ion batteries	پایداری حرارتی		
Thermal stability			

مراجع

1. Liu, X., Chen, Z., Zhang, C., Wu, J., "A Novel Temperature-Compensated Model for Power Li-Ion Batteries with Dual-Particle-Filter State of Charge Estimation", *Applied Energy*, Vol. 123, pp. 263-272, (2014).
2. Ebrahimi, KM., "Modern Electric, Hybrid Electric, and Fuel Cell Vehicles", *CRC press*, (2018).
3. Crawford, AJ., Huang, Q., Kintner-Meyer, MC., Zhang, JG., Reed, DM., Sprenkle, VL., Viswanathan, VV., Choi, D., "Lifecycle Comparison of Selected Li-Ion Battery Chemistries Under Grid and Electric Vehicle Duty Cycle Combinations", *Journal of Power Sources*, Vol. 380, pp. 185-193, 15 March, (2018),
4. Liu, D., Xie, W., Liao, H., Peng, Y., "An Integrated Probabilistic Approach to Lithium-Ion Battery Remaining Useful Life Estimation", *IEEE Transactions on Instrumentation and Measurement*, Vol. 64, No. 3, pp. 660- 670, March (2015).
5. Wang, T., Tseng, KJ., Zhao, J., "Development of Efficient Air-Cooling Strategies for Lithium-Ion Battery Module Based on Empirical Heat Source Model", *Applied Thermal Engineering*, Vol. 90, pp. 521-529, (2015).
6. Zhang, T., Gao, Q., Wang, G., Gu, Y., Wang, Y., Bao, W., Zhang, D., "Investigation on the Promotion of Temperature Uniformity for the Designed Battery Pack with Liquid Flow in Cooling Process", *Applied Thermal Engineering*, Vol. 116, pp. 655-662, (2017).
7. Zhao, R., Gu, J., Liu, J., "An Experimental Study of Heat Pipe Thermal Management System with Wet Cooling Method for Lithium Ion Batteries", *Journal of Power Sources*, Vol. 273, pp. 1089-1097, (2015).
8. Coleman, B., Ostanek, J., Heinzl, J., "Reducing Cell-to-Cell Spacing for Large-Format Lithium Ion Battery Modules with Aluminum or PCM Heat Sinks Under Failure Conditions", *Applied Energy*, Vol. 180, pp. 14-26, 15 October, (2016).
9. Tuckerman, DB., Pease, RF., "High-Performance Heat Sinking for VLSI", *IEEE Electron Device*

- Letters*. Vol. 2, No. 5, pp. 126-129, (1981).
10. Rao, Z., Wang, S., "A Review of Power Battery Thermal Energy Management", *Renewable and Sustainable Energy Reviews*. Vol. 15, No. 9, pp. 4554-4571, (2011).
 11. Liang, J., Gan, Y., Li, Y., "Investigation on the Thermal Performance of a Battery Thermal Management System Using Heat Pipe Under Different Ambient Temperatures", *Energy Conversion and Management*, Vol. 155, pp. 1-9, (2018).
 12. Mashayekhi, M., Houshfar, E., Ashjaee, M., "Development of Hybrid Cooling Method with PCM and Al₂O₃ Nanofluid in Aluminium Minichannels Using Heat Source Model of Li-Ion Batteries", *Applied Thermal Engineering*. Vol. 178, P. 115543, (2020).
 13. Qian, Z., Li, Y., Rao, Z., "Thermal Performance of Lithium-Ion Battery Thermal Management System by Using Mini-Channel Cooling", *Energy Conversion and Management*. Vol. 126, pp. 622-631, (2016).
 14. Sato, N., "Thermal Behavior Analysis of Lithium-Ion Batteries for Electric and Hybrid Vehicles", *Journal of Power Sources*. Vol. 99, No. 1-2, pp. 70-77, (2001).
 15. Fang, G., Huang, Y., Yuan, W., Yang, Y., Tang, Y., Ju, W., Chu, F., Zhao, Z., "Thermal Management for a Tube-Shell Li-Ion Battery Pack Using Water Evaporation Coupled with Forced Air Cooling", *RSC Advances*, Vol. 9, pp. 9951-9961, (2019).
 16. Mohammadian, SK., Zhang, Y., "Thermal Management Optimization of an Air-Cooled Li-Ion Battery Module Using Pin-Fin Heat Sinks for Hybrid Electric Vehicles", *Journal of Power Sources*. Vol. 273, pp. 431-439, (2015).
 17. Park, H., "A Design of Air Flow Configuration for Cooling Lithium Ion Battery in Hybrid Electric Vehicles", *Journal of Power Sources*, Vol. 239, pp. 30-36, (2013).
 18. Schmalstieg J, Käbitz S, Ecker M, Sauer DU, "From Accelerated Aging Tests to a Lifetime Prediction Model: Analyzing Lithium-Ion Batteries", in *Electric Vehicle Symposium and Exhibition (EVS27)*, DOI: 10.1109/EVS.2013.6914753, IEEE, pp. 1-12, (2013).
 19. Wu, MS., Liu, KH., Wang, YY., Wan, CC., "Heat Dissipation Design for Lithium-Ion Batteries", *Journal of Power Sources*. Vol. 109, No. 1, pp. 160-166, (2002).
 20. Nelson, P., Dees, D., Amine, K., Henriksen, G., "Modeling Thermal Management of Lithium-Ion PNGV Batteries", *Journal of Power Sources*., Vol. 110, No. 2, pp. 349-356, (2002).
 21. Karimi, G., Li, X., "Thermal Management of Lithium-Ion Batteries for Electric Vehicles", *International Journal of Energy Research*, Vol. 37, No. 1, pp. 13-24, (2013).
 22. Zhao, J., Rao, Z., Li, Y., "Thermal Performance of Minichannel Liquid Cooled Cylinder Based Battery Thermal Management for Cylindrical Lithium-Ion Power Battery", *Energy Conversion and*

- Management*, Vol. 103, pp. 157-165, (2015).
23. Al-Rashed, AA., Shahsavari, A., Rasooli, O., Moghimi, MA., Karimipour, A., Tran, MD., "Numerical Assessment into the Hydrothermal and Entropy Generation Characteristics of Biological Water-Silver Nano-Fluid in a Wavy Walled Microchannel Heat Sink", *International Communications in Heat and Mass Transfer*, Vol. 104, pp. 118-126, (2019).
 24. Zheng, J., Xu, Y., Gao, X., Zheng, J., He, H., Li, Z., "Transient Thermal Behavior of Internal Short-circuit in Lithium Iron Phosphate Battery", *International Journal of Electrochemical Science*, Vol. 13, pp. 11620-11635, (2018).
 25. Sarafraz MM, Hormozi FJ., "Intensification of Forced Convection Heat Transfer Using Biological Nanofluid in a Double-Pipe Heat Exchanger", *Experimental Thermal and Fluid Science*, Vol. 66, pp. 279-289, (2015).
 26. Bejan, A., "Advanced Engineering Thermodynamics", *John Wiley & Sons*, pp. 96-130, (2016).
 27. Sui, Y., Lee, PS., Teo, CJ., "An Experimental Study of Flow Friction and Heat Transfer in Wavy Microchannels with Rectangular Cross Section", *International Journal of Thermal Sciences*, Vol. 50, No. 12, pp. 2473-2482, (2011).

Cooling Lithium-ion Battery Assemblies using Nanofluids by Heat Sink

Akram Jahanbakhshi¹, Afshin Ahmadi Nadooshan², Morteza Bayareh³

1. Introduction

Lithium-ion batteries are used in a variety of industries, including electric vehicles, due to their good heat capacity, relatively long life, and low discharge rate compared to other types of batteries. It is important to consider their thermal stability or explosion due to overheating and non-uniform heat distribution. Therefore, the design and application of a battery cooling system and proper thermal management are considered. In this research, by combining microchannels and microtubes in a wave-shaped heatsink, a new design of cooling micro heatsink is presented for the battery pack. Silver/water-ethylene glycol (50:50) nanofluid is used. Modeling is performed for different volume fractions of nanoparticles including 0%, 0.1%, 0.5%, and 1%, and Reynolds numbers of 300, 500, 700, 1000, and 1500.

2. Geometry and Numerical Methods

Figure 1 shows the overall geometry of a thermal micro heatsink, which has 50 wavy channels and microtubes between the each two microchannels.

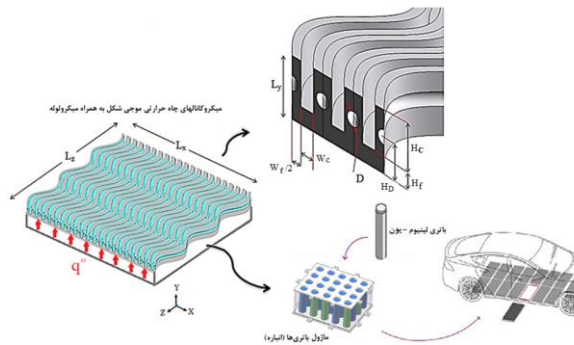


Figure 1. The geometry and its application

The waveform of the channel and tube along the heatsink is a sine function as follows:

$$S(z) = a_w \sin \frac{2\pi z}{L_w} \quad (1)$$

Where $a_w = 138\mu\text{m}$ and $L_w = 5\text{mm}$. In order to solve the equations, ANSYS FLUENT software is used. Then, a grid with 195,000 elements is

selected as the solution grid. Figure 2 show a schematic of the computational domain.

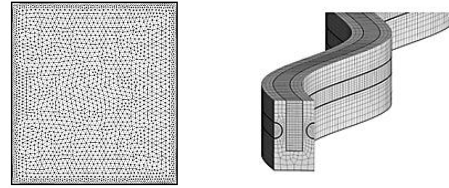


Figure 2. Schematic of the computational domain

3. Results and Discussion

Figure 3 shows that an increment in the concentration of nanofluid enhances the heat transfer coefficient and this effect is greater for higher Reynolds numbers. Increasing the volume fraction of nanoparticles leads to an increase in the thermal conductivity and thus an increase in the convective heat transfer coefficient. The effect of increasing nanoparticles can also be investigated based on the average storage temperature. By increasing the concentration of nanoparticles and improving heat transfer performance in the system, the storage surface temperature decreases because the need for a lower temperature gradient for heat transfer is generated (Figure 4).

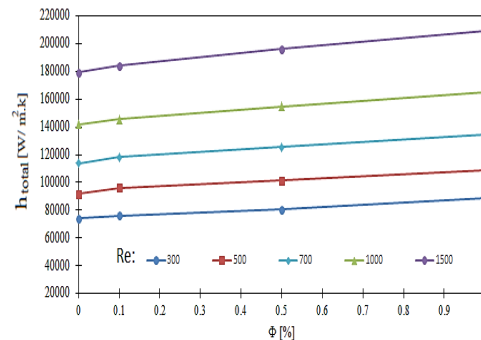


Figure 3. Total heat transfer coefficient

Figure 5 shows the ratio of the temperature range to the average temperature of the contact surface of the lithium-ion storage and the heatsink.

$$\theta = \frac{T_{batteries,Max} - T_{batteries,min}}{T_{batteries,Meam}} \quad (2)$$

The smaller this number, the more uniform the distribution of the storage surface temperature. The higher the Reynolds number, the more

¹. PhD Candidate, Engineering Faculty, Shahrekord University, Shahrekord, Iran

². Corresponding Author: Associated Professor, Engineering Faculty, Shahrekord University, Shahrekord, Iran, Email: ahmadi@sku.ac.ir

³. Associated Professor, Engineering Faculty, Shahrekord University, Shahrekord, Iran

uniformity of the temperature distribution due to the stronger convection effect.

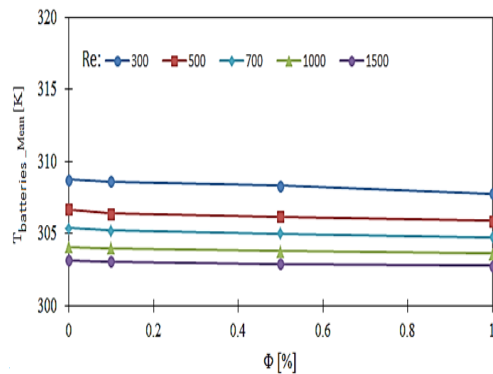


Figure 4. Average storage temperature

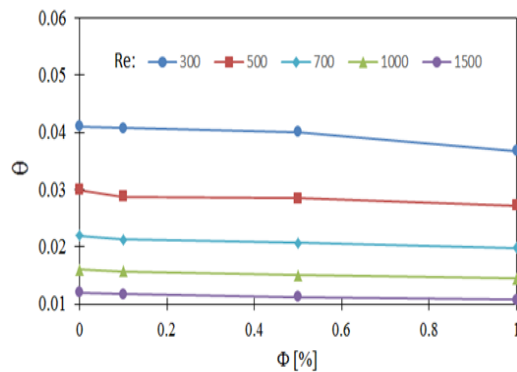


Figure 5. Storage surface temperature uniformity

General comparison between the improvement of thermal performance and the cost of pumping power shows that adding nanofluid to the system does not have the same effect in different states. At a concentration of 0.1%, it has a maximum performance improvement of 5%, but at a concentration of 0.5%, it showed a maximum improvement of 15%. Contours of Figure 6 demonstrate that at the critical operating temperature of the batteries, the pure surface temperature is only 9 degrees lower than the maximum for the pure fluid. At a concentration of 1%, which is the maximum concentration of nanofluid studied, the critical operating temperature is approximately equal to the storage surface temperature.

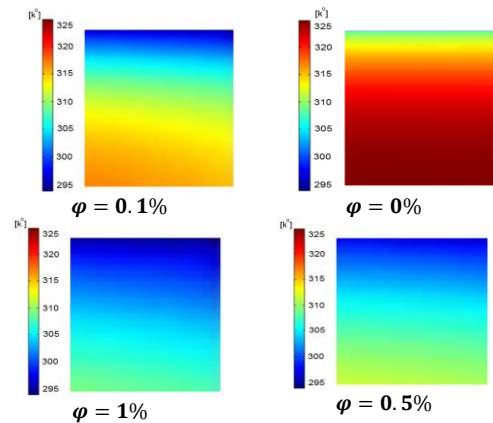


Figure 6. Storage surface temperature contours.

4. Conclusion

This study presented a new design of thermal heatsink for cooling lithium-ion batteries. It was found that the convection heat transfer coefficient of nanofluid increases with the volume fraction of nanofluid and Reynolds number. Moreover, using this cooling system, the temperature of the batteries can be kept in the best range, from 295 to 305 K. At all studied concentrations, the maximum temperature difference at the surface is 5 and 7 K, respectively. It was also found that increasing the nanofluid concentration provides a more uniform temperature. At higher Reynolds numbers, although the temperature distribution is more uniform, increasing the nanofluid concentration has no significant effect. For example, at $Re=300$, the improvement of surface temperature uniformity is 4.5% with increasing the concentration from zero to 1%. On the other hand, an increment in the Reynolds number has a negative effect on the pumping power of the coolant. Moreover, the rate of thermal and frictional entropy generation decreases with the volume fraction of nanoparticles. For instance, the reduction of frictional entropy is 9% smaller than that of pure fluid for a concentration of 1%.